

## 4 KMITY A VLNY

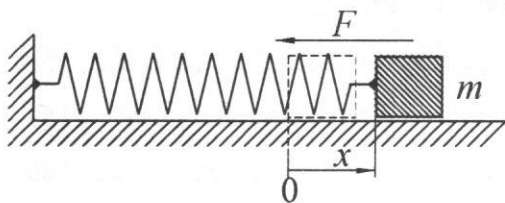
Kmitavé pohyby (kupř. časové závislosti polohy částic, časové změny proudů v elektrických obvodech, proměny hodnot vektorů v elektromagnetických polích ap.) a vlnivé děje (v nichž se kmitavé pohyby ve spojitéch prostředích šíří a v různých místech spolu souvisejí), které tvoří náplň této rozsáhlé kapitoly, zdánlivě představují jen velmi úzkou a speciální část fyzikálních procesů. Ve skutečnosti jsou to **děje velice rozšířené**, s mnoha technickými aplikacemi i teoretickými souvislostmi. Vyskytují se všude tam, kde je systém nevelkým vnějším vlivem vychýlen z původně stabilního rovnovážného stavu a systém pak začíná kolem rovnováhy oscilovat.

### 4.1 Kmity

#### 4.1.1 Lineární harmonický oscilátor

Sledujme nejprve několik konkrétních příkladů:

##### Těleso upevněné na pružině



Obr. 4.1.1

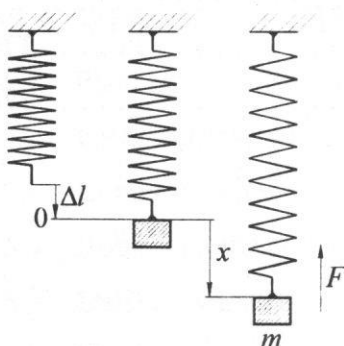
Mějme těleso (hmotný bod) s hmotností  $m$  spojené s pružinou tak, že se může pohybovat bez tření podél vodorovného směru podle obr. 4.1.1. Je-li vychýleno ze své rovnovážné polohy  $O$  o posunutí  $x$  (přičemž  $x$  je dostatečně malé tak, aby platil Hookův zákon), vzniká v důsledku pružné síly pružiny síla  $F$  o velikosti přímo úměrné velikosti výchylky  $x$ . Směr této

síly působící na těleso je však opačný než směr posunutí  $x$ , takže můžeme napsat

$$F = -kx, \quad (4.1.1)$$

kde  $k > 0$  je tzv. tuhost pružiny. Po dosazení do Newtonova druhého zákona  $F = ma$ , v němž zrychlení  $a$  je druhou derivací výchylky  $x$  podle času,  $a = \ddot{x}$ , a po vydělení rovnice hmotností  $m$ , dostáváme pohybovou diferenciální rovnici

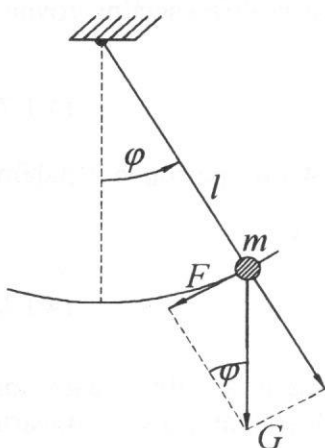
$$\ddot{x} + \frac{k}{m}x = 0. \quad (4.1.2)$$



Obr. 4.1.2

V případě svislého uspořádání podle obr. 4.1.2 je situace shodná s předchozím případem, jen s tím rozdílem, že posunutí  $x$  bereme od rovnovážné polohy soustavy, tj. od klidové polohy tělesa, které po zavěšení na pružinu svojí vahou její délku o něco prodlouží (o  $\Delta l = mg/k$ ). I zde však v oboru platnosti Hookova zákona můžeme psát  $F = -kx$ .

## Matematické kyvadlo



Obr. 4.1.3.

Na hmotný bod s hmotností  $m$  zavěšený na nehmotném závěsu délky  $l$  při výchylce  $\varphi$  působí tíhová síla  $G = mg$  tak, že pro její složku tečnou k oblouku kružnice, po níž se bod  $m$  může pohybovat, platí

$$F = -m g \sin \varphi .$$

Znaménko minus vyjadřuje skutečnost, že směr síly  $F$  je vždy právě opačný, než odpovídá znaménku výchylky  $\varphi$ , obr. 4.1.3. Pro tečné zrychlení bodu  $m$  můžeme napsat  $a = l\ddot{\varphi}$ , takže z druhého Newtonova zákona:

$$ml\ddot{\varphi} = -mg \sin \varphi ,$$

dostáváme okamžitě pohybovou diferenciální rovnici pro nalezení  $\varphi(t)$ ,

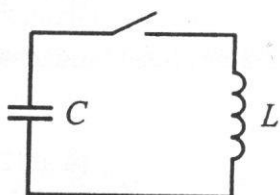
$$\ddot{\varphi} + \frac{g}{l} \sin \varphi = 0 . \quad (4.1.3)$$

Je-li úhel  $\varphi$  dostatečně malý, abychom mohli položit  $\sin \varphi \doteq \varphi$ , dostáváme rovnici tvaru

$$\ddot{\varphi} + \frac{g}{l} \varphi = 0 . \quad (4.1.4)$$

(Pozn.: Pro  $\varphi \leq 5^\circ$  v rozvoji  $\sin \varphi = \varphi - \frac{1}{3!}\varphi^3 + \frac{1}{5!}\varphi^5 - \frac{1}{7!}\varphi^7 + \dots$  první člen převyšuje ostatní členy nejméně tisíckrát, takže lineární přiblížení je dostatečně přesné.)

## LC obvod



Obr. 4.1.4.

V ideálním LC obvodu (obr. 4.1.4) podle druhého Kirchhoffova zákona pro bilanci napětí platí

$$L \frac{dI}{dt} + \frac{1}{C} \int_0^t I d\tau = 0 . \quad (4.1.5)$$

Po zderivování podle času  $t$  a po vydělení indukčností  $L$  dostáváme pohybovou rovnici pro obvod

$$\ddot{I} + \frac{1}{LC} I = 0 . \quad (4.1.6)$$

## Netlumený lineární harmonický oscilátor

Všechny uvedené příklady, ačkoliv jsou vybrány z různých oblastí fyziky, mají řadu společných rysů. Především popisují systémy, u kterých existuje rovnovážný stav. Je-li systém z tohoto stavu vyveden, vzniká v něm síla, která je úměrná velikosti výchylky od rovnovážného stavu a která působí tak, aby se systém do rovnovážného stavu vrátil. Systém sám i vzniklé síly mohou být velmi rozmanité povahy (elastické síly u pružiny, gravitační síla u kyvadla, indukované elektromotorické napětí v LC obvodu ap.).

Podstatné je, že všechny uvedené příklady (a celá řada dalších, kupř. torzní kmity, kmity molekul, kmity v plazmatu atd.) vedou ke stejnému tvaru pohybové diferenciální rovnice (4.1.2), (4.1.4), (4.1.6), která z matematického hlediska je lineární diferenciální rovnicí 2. řádu s konstantními koeficienty s nulovou pravou stranou tvaru

$$\ddot{u} + \omega_0^2 u = 0 \quad (4.1.7)$$

Kladný koeficient  $\omega_0^2$ , odpovídá v rovnicích (4.1.2), (4.1.4) a (4.1.6) postupně vztahům pro  $\omega_0$ :

$$\omega_0 = \sqrt{\frac{k}{m}}, \quad \omega_0 = \sqrt{\frac{g}{l}} \quad \text{a} \quad \omega_0 = \sqrt{\frac{1}{LC}} \quad (4.1.8)$$

Stejný tvar pohybové rovnice vede ovšem ke stejnému tvaru řešení a tedy i časovému chování ve všech uvedených případech. To umožňuje zavést abstraktní pojem „lineární harmonický oscilátor“. Jeho chování je popsáno rovnicí (4.1.7) nezávisle na fyzikální povaze systému. Veličina  $u$  představuje „výchylku“ systému od rovnovážného stavu. Všechny další úvahy budou mít obecnou povahu, ale pro konkrétní představu můžeme mít zpravidla na mysli oscilační pohyby hmotného bodu a výchylku  $u$  můžeme chápat jako posunutí  $x$  z prvního příkladu.

#### Řešení pohybové rovnice – harmonické kmity

Z matematiky víme, že při hledání obecného řešení rovnice tvaru (4.1.7) napíšeme nejprve tzv. charakteristickou rovnici

$$\lambda^2 + \omega_0^2 = 0 \quad (4.1.9)$$

s kořeny:

$$\lambda_{1,2} = \pm j\omega_0 \quad (4.1.10)$$

Obecné komplexní řešení pak může být zapsáno jako lineární superpozice ve tvaru

$$u = C_1 e^{j\omega_0 t} + C_2 e^{-j\omega_0 t} \quad (4.1.11)$$

Z Eulerových vztahů  $e^{\pm j\omega_0 t} = \cos\omega_0 t \pm j \sin\omega_0 t$  lze ukázat, že obecné (reálné) řešení můžeme napsat i ve tvaru

$$u = C_0 \sin(\omega_0 t + \varphi) \quad (4.1.12)$$

případně  $u = C_0 \cos(\omega_0 t + \psi)$ , což je ale jen jiná podoba tvaru (4.1.12).

Jiným vhodným tvarem je i reálná superpozice:

$$u = A \cos\omega_0 t + B \sin\omega_0 t \quad (4.1.13)$$

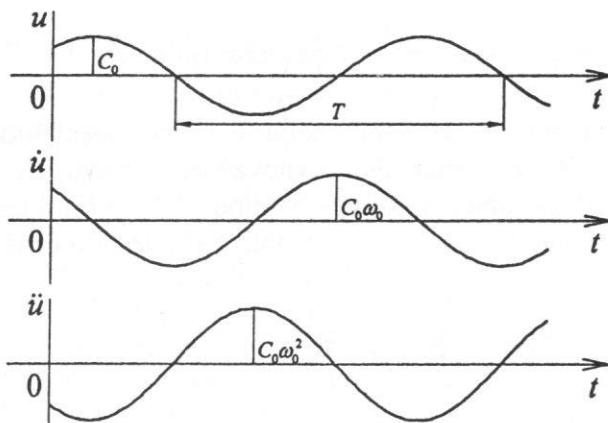
Neurčené dvě integrační konstanty  $C_1$  a  $C_2$  nebo  $C_0$  a  $\varphi$  (případně  $\psi$ ) nebo konečně  $A$  a  $B$  musí být nalezeny teprve z tzv. počátečních podmínek kladených na konkrétní řešení podle povahy úlohy.

Všechny tři tvary řešení (4.1.11), (4.1.12) a (4.1.13) jsou ekvivalentní a budeme je užívat podle vhodnosti v dané formulaci problému. Obr. 4.1.5 vychází z tvaru (4.1.12) a zobrazuje průběh výchylky  $u(t)$ , rychlosti  $v = \dot{u}(t)$  a zrychlení  $a = \ddot{u}(t)$ . Derivováním (4.1.12) snadno získáme

$$v = C_0 \omega_0 \cos(\omega_0 t + \varphi) \quad (4.1.14)$$

a

$$a = -C_0 \omega_0^2 \sin(\omega_0 t + \varphi) = -\omega_0^2 u \quad (4.1.15)$$



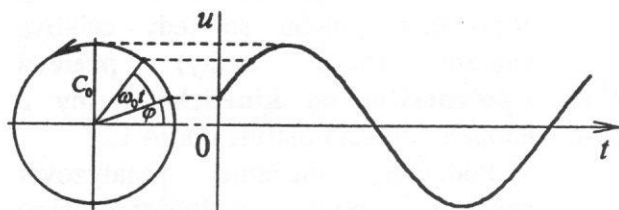
Obr. 4.1.5.

Zde  $C_0$ , odpovídající maximální výchylce, se nazývá **amplituda**, argument goniometrické funkce  $\omega_0 t + \varphi$  je tzv. **fáze**, konstanta  $\varphi$  je tzv. **fázová konstanta**,  $\omega_0$  je **úhlová frekvence**,  $f = \omega_0 / 2\pi$  je **kmitočet** (frekvence) a  $T = 1/f = 2\pi / \omega_0$  je **perioda** kmitů. (Pozn. Nehrozí-li nebezpečí nedorozumění, je obvyklé, ač jistě ne zcela patřičné, i o úhlové frekvenci prostě mluvit jako o frekvenci  $\omega$ .)

Chceme-li specifikovat konkrétní řešení pohybové rovnice, je třeba udat **počáteční podmínky** v čase nula, výchylku  $u(0) = u_0$  a rychlost  $v(0) = v_0$ . Z rovnic

$$u_0 = C_0 \sin \varphi \quad \text{a} \quad v_0 = \omega_0 C_0 \cos \varphi \quad (4.1.16)$$

můžeme pak určit obě integrační konstanty  $C_0$  a  $\varphi$ . Tyto hodnoty můžeme určit ale i z jiných dvou nezávislých podmínek kladených na hledané řešení, kupř. z výchylek ve dvou časových okamžicích  $t_1$  a  $t_2$ , nebo ze dvou hodnot rychlosti, případně z výchylky v čase  $t_1$  a rychlosti v čase  $t_2$  (pro  $t_1 = t_2$  máme případ počátečních podmínek). Jde o to, aby podmínky vedly na soustavu dvou rovnic o dvou neznámých, mající jediné řešení.



Obr. 4.1.6.

Terminologie užívaná pro popis harmonického pohybu je úzce spjata se skutečností, že harmonický pohyb může být chápán i jako projekce rovnoměrného kmitavého pohybu podle obr. 4.1.6.

S touto možností úzce souvisí i výhodné použití **komplexního zápisu** řešení

$$\hat{u} = C_0 e^{j(\omega_0 t + \varphi)} = C_0 \cos(\omega_0 t + \varphi) + j C_0 \sin(\omega_0 t + \varphi) \quad (4.1.17)$$

Výchylka  $u$  pak odpovídá ryze imaginární části komplexního řešení. (Lze ovšem stejně dobře použít i části reálné.) Použití komplexních vyjádření (komplexních vektorů) je zvláště vhodné a je hojně používáno v řadě elektrotechnických aplikací.

### Bilance energie

Stabilní rovnovážná poloha mechanické soustavy je charakterizována (lokální) minimální hodnotou potenciální energie. K vychýlení soustavy z tohoto stavu je třeba zvětšku nějakou

energii dodat. Ta je při návratu soustavy k rovnovážné poloze konvertována do energie pohybové a pokud nedochází k úbytku energie, **celková energie zůstává konstantní**. Doložme tuto situaci na případě tělesa spojeného s pružinou.

Pro kinetickou energii s uvážením rychlosti podle (4.1.14) okamžitě máme

$$W_k = \frac{1}{2}mv^2 = \frac{1}{2}mC_0^2\omega_0^2 \cos^2(\omega_0 t + \varphi) \quad (4.1.18)$$

Při výpočtu potenciální energie vyjdeme nejprve z její obecné definice. Je-li nulová hodnota potenciální energie položena do rovnovážného stavu, je potenciální energie odpovídající výchylce  $u$  dána prací vykonanou silou  $F^* = -F$ , která překonává vnitřní pružnou sílu soustavy  $F = -ku$  tak, aby těleso mohlo být z rovnovážného polohy vyvedeno. Platí

$$W_p = -\int_0^u F du' = \int_0^u ku' du' = \frac{1}{2}ku^2 \quad (4.1.19)$$

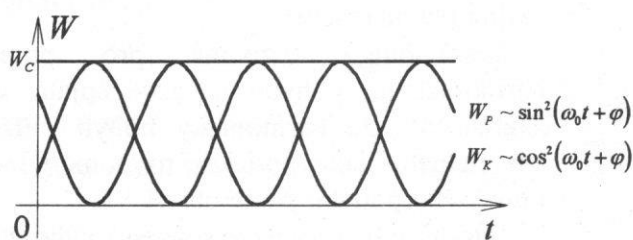
Průběh závislosti  $W_p$  na výchylce  $u$  je parabolický s minimem v rovnovážné poloze  $u = 0$ . Po dosazení za  $u$  ze (4.1.12) máme

$$W_p = \frac{1}{2}kC_0^2 \sin^2(\omega_0 t + \varphi) \quad (4.1.20)$$

Součet  $W_k + W_p = W_c$  je ovšem roven celkové energii a zůstává v čase konstantní. To snadno ověříme, dosadíme-li ze (4.1.18) a (4.1.20) a uvážíme, že  $\sin^2 \alpha + \cos^2 \alpha = 1$  a že podle (4.1.8) platí  $m\omega_0^2 = k$ . Dostaneme:

$$\begin{aligned} W_c = W_k + W_p &= \frac{1}{2}mC_0^2\omega_0^2 \cos^2(\omega_0 t + \varphi) + \frac{1}{2}kC_0^2 \sin^2(\omega_0 t + \varphi) = \\ &= \frac{1}{2}m\omega_0^2 C_0^2 = \frac{1}{2}kC_0^2. \end{aligned} \quad (4.1.21)$$

Celková energie je tak rovna maximální hodnotě potenciální energie v okamžiku maximální výchylky, kdy  $u=C_0$  a  $v=0$ , nebo maximální možné hodnotě kinetické energie, kdy



Obr. 4.1.7.

$u=0$  a rychlost je maximální,  $v=\omega_0 C_0$ . V průběhu pohybu se tedy celková energie (beze ztráty) **přelévá z potenciální do kinetické formy a naopak**. Situaci ilustruje obr. 4.1.7.

Podobně můžeme analyzovat energetické poměry v (bezztrátovém) obvodu  $LC$ . Energie magnetická  $W_m$  je dána vztahem (3.4.46) z Fyziky I

$$W_m = \frac{1}{2}LI^2 = \frac{1}{2}LI_0^2 \sin^2(\omega_0 t + \varphi) \quad (4.1.22)$$

Pro energii elektrického pole v kondenzátoru platí (3.2.66),

$$W_e = \frac{1}{2}CU^2 = \frac{1}{2}\frac{Q^2}{C} = \frac{1}{2}\frac{I_0^2}{C\omega_0^2} \cos^2(\omega_0 t + \varphi), \quad (4.1.23)$$



kde

$$Q = \int_0^t I_0 \sin(\omega_0 t' + \varphi) dt' = -\frac{I_0}{\omega_0} \cos(\omega_0 t + \varphi).$$

Uvážíme-li, že podle (4.1.8)  $\omega_0^2 = 1/LC$  a že  $\sin^2 \alpha + \cos^2 \alpha = 1$ , uvidíme, že **energie elektrická se přelévá do energie magnetické**, avšak součet obou komponent, tedy energie celková, se v čase zachovává.

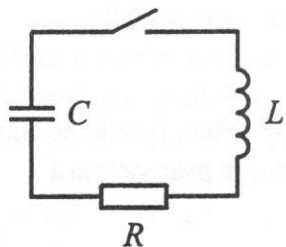
### Anharmonické kmity

Dříve než ukončíme paragraf o netlumeném harmonickém kmitání, alespoň krátce se zmíníme o obecnějším případě kmitavých pohybů, které nejsou harmonické. Potenciální energie v okolí svého minima (a tedy v okolí rovnovážné polohy) nemusí mít průběh tvaru paraboly (4.1.19) a pro působící sílu neplatí vztah přímé úměrnosti  $F = -ku$ . Takováto závislost je jen prvním (lineárním) přiblížením v těsném sousedství rovnováhy. Pro kmity s větší amplitudou tedy nestačí diferenciální rovnice tvaru (4.1.7). Řešení pak nemají harmonický (sinový či kosinový) průběh. Pro řešení nelineární rovnice **neplatí princip superpozice** (součet dvou řešení nemusí být řešením) a celá situace je složitější a obtížnější, ale i bohatší ve svých podobách. Nelineární rovnicí je kupř. i úplná rovnice pro pohyb matematického **kyvadla** s neomezenou amplitudou (4.1.3). Důležitým případem anharmonických kmitů je např. kmitání atomů v krystalové mříži pevného tělesa. S touto skutečností souvisí i jev teplotní roztažnosti pevných látek. Viz paragraf 6.16 a rovnici (6.16.1).

## 4.1.2 Tlumené kmity

### Ztráty a tlumení

V předcházejícím výkladu jsme při analýze kmitání zanedbávali energetické ztráty. V reálných systémech jsou však **ztráty nevyhnutelné** a v praxi ne úplně odstranitelné (tření, vliv ohmického odporu, vyzařování ap.). Makroskopická energie je disipována (rozptylována) a jako teplo či jinak odváděna ze systému. Povaha těchto ztrát může být různá, kupříkladu v elektrických obvodech dochází ke ztrátám ve spojovacích vodičích, v dielektriku kondenzátoru, popřípadě v jádře indukční cívky. Jejich závislost na procházejícím proudu může být dosti složitá. To by v obecném případě značně komplikovalo pohybovou rovnici, činilo by ji nelineární a znemožnilo uplatnění principu superpozice.



Obr. 4.1.8

V dalším výkladu budeme proto uvažovat jen takové síly, které **zachovávají linearitu** pohybové rovnice. I když tento požadavek znamená značné omezení, ukazuje se, že i tak jde o dobré přiblížení, vhodné k popisu mnoha reálných systémů.

V případě LC obvodu to odpovídá zavedení rezistoru  $R$  podle obr. 4.1.8. Rovnice (4.1.5) se pak rozšíří na tvar

$$L\dot{I} + RI + \frac{1}{C} \int_0^t I dt' = 0. \quad (4.1.24)$$

Místo (4.1.6) poté dostaneme

$$\ddot{I} + \frac{R}{L}\dot{I} + \frac{1}{LC}I = 0. \quad (4.1.25)$$

V případě mechanického kmitání zavedení **síly tření úměrné velikosti rychlosti** pohybu a mířící proti směru rychlosti  $F_t = -bv$  vede k pohybové rovnici

$$m\ddot{x} + b\dot{x} + kx = 0 \quad (4.1.26)$$

a místo (4.1.2) pak máme

$$\ddot{x} + \frac{b}{m}\dot{x} + \frac{k}{m}x = 0. \quad (4.1.27)$$

### Tlumený lineární harmonický oscilátor

Zavedeme-li v rovnici (4.1.25) označení

$$\frac{1}{LC} = \omega_0^2 \quad \text{a} \quad \frac{R}{L} = 2\delta \quad (4.1.28)$$

a podobně i v rovnici (4.1.27)

$$\frac{k}{m} = \omega_0^2 \quad \text{a} \quad \frac{b}{m} = 2\delta, \quad (4.1.29)$$

dostáváme společně pro tlumený harmonický oscilátor

$$\boxed{\ddot{u} + 2\delta\dot{u} + \omega_0^2 u = 0} \quad (4.1.30)$$

Veličinu  $\delta$  nazveme **konstantou tlumení** a  $\omega_0$  si ponechá původní smysl jako úhlová frekvence, jež by příslušela témuž oscilátoru, kdyby tlumení bylo možno zanedbat a oscilátor byl netlumen.

Rovnice (4.1.30) je z matematického hlediska lineární diferenciální rovnicí s konstantními koeficienty a s nulovou pravou stranou. Při jejím řešení lze postupovat stejně jako v případě netlumeného kmitání. Charakteristická rovnice

$$\lambda^2 + 2\delta\lambda + \omega_0^2 = 0$$

nabízí obecně dva kořeny

$$\lambda_{1,2} = -\delta \pm \sqrt{\delta^2 - \omega_0^2}. \quad (4.1.32)$$

(Nyní je patrné, proč je vhodné volit konstantu u tlumícího členu ve tvaru  $2\delta$ .)

### Diskuse typů řešení

Tvar diskriminantu v rovnici (4.1.31) připouští tři možné typy řešení (podle hodnot  $\omega$  a  $\delta$ ):

(a) Pro  $\delta > \omega_0$  jsou kořeny (4.1.31) reálné a kladné. Můžeme je psát ve tvaru

$$\lambda_{1,2} = -\delta \pm \Delta, \quad \text{kde } \Delta^2 = \delta^2 - \omega_0^2.$$

(b) Pro  $\delta = \omega_0$  dostáváme dvojnásobný kořen  $\lambda_{1,2} = -\delta$ .

(c) Pro  $\delta < \omega_0$  dostaneme dva komplexně sdružené kořeny ve tvaru  $\lambda_{1,2} = -\delta \pm j\omega$ , kde

$$\boxed{\omega = \sqrt{\omega_0^2 - \delta^2}} \quad (4.1.32)$$

Proberme nejprve **případ (a)**. Obecné řešení rovnice (4.1.30) má opět tvar

$$u = C_1 e^{\lambda_1 t} + C_2 e^{\lambda_2 t}$$

a po dosazení  $\lambda_1, \lambda_2$  dostáváme

$$u = e^{-\delta t} (C_1 e^{\Delta t} + C_2 e^{-\Delta t}). \quad (4.1.33)$$

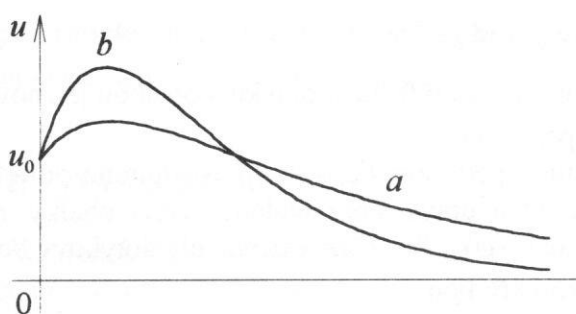
Řešení lze s využitím vlastností hyperbolických funkcí převést na tvar

$$u = C_0 e^{-\delta t} \sinh(\Delta t + \varphi) \quad (4.1.34)$$

nebo na ekvivalentní tvar s hyperbolickým kosinem, či na lineární kombinaci obou. Na obr. 4.1.9 je znázorněno řešení (a) odpovídající počáteční podmínce  $u(0) = u_0 > 0$ ,  $\dot{u}(0) = v_0 > 0$ . Pohyb probíhá pouze na jedné straně od rovnovážné polohy a s  $t \rightarrow \infty$  se výchylka  $u$  asymptoticky blíží nule. Při určité volbě integračních konstant  $C_1, C_2$ , kdy  $C_2 / C_1 < -1$  (tj. při zvláštní volbě počátečních podmínek) může pohyb překmitnout do hodnot opačného znaménka, avšak nejvýše jednou. Pohyb je **aperiodický (přetlumený)**.

Pro **případ (b)** máme dvojnásobný kořen charakteristické rovnice. Teorie diferenciálních rovnic vede pro tuto situaci k obecnému řešení tvaru

$$u = e^{-\delta t} (C_1 + C_2 t).$$



Obr. 4.1.9

Je ihned vidět, že i toto řešení (pokud začíná z nulové výchylky  $u_0 = 0$ ) nemění znaménko a pro  $t \rightarrow \infty$  se rovněž asymptoticky blíží k nule. Podstatné je, že návrat k rovnovážné poloze se děje "nejrychlejším" možným způsobem, aniž by přitom došlo k překmitnutí. To má řadu technických využití, např. při volbě tlumení u systémů elektrických měřicích přístrojů (hlavně galvanoměrů) a tlumených analytických vah, kde vhodná volba tlumení značně zkracuje

dobu potřebnou pro určení měřené veličiny. Tento případ tlumení se nazývá **kritický**. Je znázorněn křivkou (b) v obr. 4.1.9.

Více pozornosti budeme věnovat **případu (c)**.

### Tlumené harmonické kmitání

Je-li tlumení malé a platí  $\delta < \omega_0$ , má obecné řešení rovnice (4.1.30) tvar

$$u = e^{-\delta t} (C_1 e^{j\omega t} + C_2 e^{-j\omega t}).$$

Stejným postupem jako u netlumeného oscilátoru lze přepsat výraz v závorce a reálné řešení zapsat ve tvaru

$$u = C_0 e^{-\delta t} \sin(\omega t + \varphi), \quad (4.1.35)$$

odkud je patrné, že lze interpretovat jako řešení netlumeného harmonického oscilátoru, jehož amplituda exponenciálně klesá s časem, obr. 4.1.10.

Z matematického hlediska řešení (4.1.35) **není periodické** (nevyhovuje definici periodické funkce  $f(t+T)=f(t)$ ), má však některé periodické vlastnosti, které nyní probereme.



1) **Průchod rovnovážnou polohou** nastává pro  $\sin(\omega t + \varphi) = 0$ ; odtud  $\omega t + \varphi = k\pi$ , ( $k=0,1,2,\dots$ ). Pro časovou odlehlost dvou následujících průchodů máme  $(\omega t_{k+1} + \varphi) - (\omega t_k + \varphi) = [(k+1) - k]\pi$ , odkud  $\omega(t_{k+1} - t_k) = \pi$ , takže

$$(t_{k+1} - t_k) = \frac{T}{2}. \quad (4.1.36)$$

2) Hledejme **časové okamžiky extrémů výchylky**, tj. okamžiky nulových hodnot rychlosti. Zderivujme proto (4.1.35) a položme rovno nule.

$$\dot{u} = C_0 e^{-\delta t} [-\delta \sin(\omega t + \varphi) + \omega \cos(\omega t + \varphi)] = 0.$$

Odtud máme  $\operatorname{tg}(\omega t + \varphi) = \frac{\omega}{\delta}$ , a tedy  $\omega t + \varphi = \operatorname{arctg} \frac{\omega}{\delta} + k\pi$ . Označíme-li  $\operatorname{arctg} \frac{\omega}{\delta} - \varphi = \alpha$ , máme  $\omega t = \alpha + k\pi$  a pro odlehlost sousedních extrémů opět vyplývá

$$t_{k+1}^* - t_k^* = \frac{T}{2}.$$

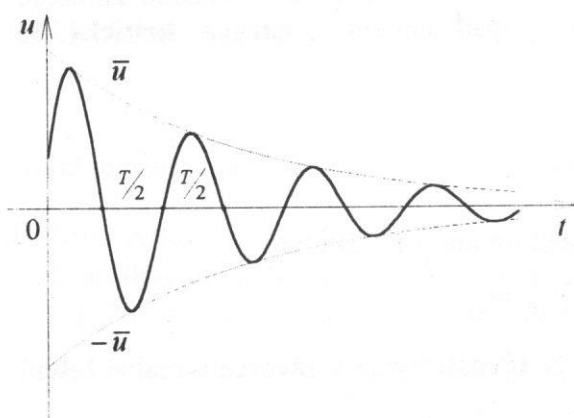
Vzhledem k tomu, že maxima a minima se vzájemně střídají, je vzdálenost dvou sousedních maxim (nebo minim) rovna periodě  $T$ .

3) Hledejme časové okamžiky, kdy se funkce  $u$  **dotýká** své obálky  $\bar{u} = C_0 e^{-\delta t}$ . Viz obr. 4.1.11. Pro dotyky platí  $u = \pm \bar{u}$ , tj.

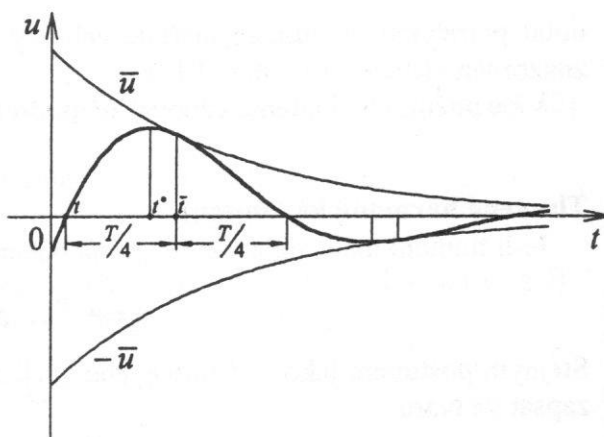
$$C_0 e^{-\delta t} \sin(\omega t + \varphi) = \pm C_0 e^{-\delta t}.$$

To odpovídá extrémům funkce  $\sin(\omega t + \varphi) = \pm 1$ . Časová odlehlost dotyků s obálkou je znovu  $T/2$  a dotyky s jednou větví obálky se opakují s periodou  $T$ .

Máme tak tři jevy, které se periodicky opakují s periodou  $T/2$  a to v následujícím pořadí: průchod nulovou polohou  $t$ , dosažení extrému  $t^*$  a dotyk s odpovídající větví obálky  $\bar{t}$ . Uprostřed mezi dvěma nulovými průchody  $[\sin(\omega t + \varphi) = 0]$  neleží extrém, ale dotykový bod  $[\sin(\omega t + \varphi) = \pm 1]$ . "Půlperioda" není symetrickou křivkou.



Obr. 4.1.10



Obr. 4.1.11

## Útlum

Mírou tlumení je poměr velikostí výchylek ve dvou časových okamžicích vzdálených o periodu  $T$

$$\frac{u(t)}{u(t+T)} = \frac{C_0 e^{-\delta t} \sin(\omega t + \varphi)}{C_0 e^{-\delta(t+T)} \sin[\omega(t+T) + \varphi]}$$

Postupně upravme

$$\frac{e^{-\delta t}}{e^{-\delta(t+T)}} = e^{\delta T}$$

a

$$\sin[\omega(t+T) + \varphi] = \sin[\omega(t + \varphi) + \omega T] = \sin[\omega(t + \varphi) + 2\pi] = \sin(\omega t + \varphi).$$

Nezávisle na volbě  $t$  tak dostáváme

$$\frac{u(t)}{u(t+T)} = e^{\delta T} = \beta. \quad (4.1.37)$$

Bezrozměrná veličina  $\beta$  se nazývá **útlum** a její přirozený logaritmus  $\lambda$ ,

$$\lambda = \ln \beta = \delta T, \quad (4.1.38)$$

**logaritmický dekrement útlumu.** Znalost  $\omega$  a  $\lambda$  (místo  $\omega_0$  a  $\delta$ ) plně určuje vlastnosti tlumeného harmonického oscilátoru.

### 4.1.3 Vynucené kmitání

V předchozích odstavcích jsme se zabývali tzv. volným kmitáním oscilační soustavy. Reálné systémy však vždycky ztrácejí energii a amplituda kmitů nutně klesá k nule. Má-li systém kmitat trvale, je nezbytné dodávat mu energii z vnějšího zdroje. Tu dodává zvnějšku působící síla. Chceme studovat harmonické děje, volme proto sílu ve tvaru

$$F = F_0 \sin \Omega t,$$

kde  $\Omega$  je úhlová frekvence této síly. Stejně dobře by ovšem bylo možno zvolit kosinus či lineární kombinaci.

#### Pohybová rovnice a její řešení

Pohybovou rovnici

$$m\ddot{x} = -kx - b\dot{x} + F_0 \sin \Omega t$$

můžeme snadno upravit na obvyklý tvar

$$\boxed{\ddot{u} + 2\delta\dot{u} + \omega_0^2 u = a_0 \sin \Omega t}, \quad (4.1.39)$$

který stejně dobře může popisovat děje elektrické jako mechanické ap. (Zde  $a_0 = F_0/m$ .)

Tato rovnice je lineární diferenciální rovnicí s konstantními koeficienty; je však nehomogenní, má pravou stranu. Z teorie diferenciálních rovnic je známo, že obecné řešení takové rovnice lze napsat jako součet obecného řešení  $u_H$  příslušné homogenní rovnice (tj.

téže rovnice bez pravé strany) a libovolného partikulárního řešení  $u_p$  celé rovnice. Takové řešení lze nalézt např. metodou variace konstant. Pro naše potřeby však stačí zvolit předpokládaný tvar řešení

$$u_p = \alpha \cos \Omega t + \beta \sin \Omega t, \quad (4.1.40)$$

vypočítat příslušné derivace, dosadit do rovnice (4.1.39), kterou má  $u_p$  řešit, porovnat koeficienty u lineárně nezávislých funkcí  $\sin \Omega t$  a  $\cos \Omega t$  a ze získaných dvou algebraických rovnic hodnoty  $\alpha$  a  $\beta$  vypočítat. Dostaneme

$$\alpha = -\frac{2\delta \Omega a_0}{(\omega_0^2 - \Omega^2)^2 + 4\delta^2 \Omega^2}, \quad \beta = -\frac{2\delta \Omega a_0}{(\omega_0^2 - \Omega^2)^2 + 4\delta^2 \Omega^2}. \quad (4.1.41)$$

Tvar (4.1.40) lze převést do podoby

$$u_p = K \sin(\Omega t + \psi), \quad (4.1.42)$$

který je k dalším diskusím ještě vhodnější. Snadno lze ukázat, že

$$K^2 = \alpha^2 + \beta^2 \quad \text{a} \quad \operatorname{tg} \psi = \frac{\alpha}{\beta},$$

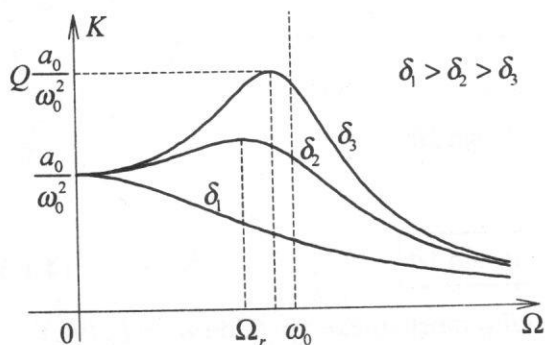
což po dosazení z (4.1.41) dává

$$K^2 = \frac{a_0^2}{(\omega_0^2 - \Omega^2)^2 + 4\delta^2 \Omega^2} \quad \text{a} \quad \operatorname{tg} \psi = -\frac{2\delta \Omega}{\omega_0^2 - \Omega^2} \quad (4.1.43)$$

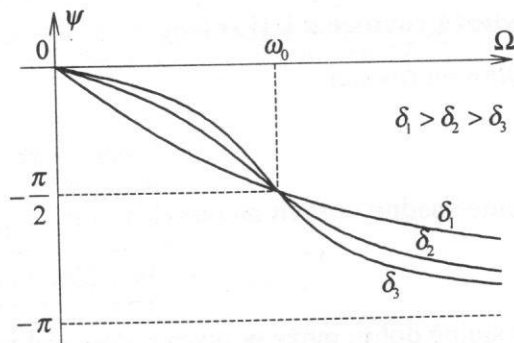
V obecném řešení vychází rovnice (4.1.39)  $u = u_H + u_p$  však první člen, tedy obecné řešení příslušné homogenní rovnice (kterému byl věnován celý předchozí odstavec o tlumeném kmitání), časem vymizí a zůstává jen partikulární řešení (4.1.42).

Po určité době se tedy **ustálí netlumené harmonické kmitání s frekvencí  $\Omega$** . Toto řešení již nezávisí na počátečních podmínkách, obě integrační konstanty, přítomné v obecném řešení, s odezněním  $u_H \rightarrow 0$  ztratily svůj vliv. Konstanty  $K$  a  $\psi$  nemají povahu libovolných integračních konstant. Nejsou určeny počátečními podmínkami, ale podle (4.1.43) frekvencí  $\Omega$  a koeficienty  $\omega_0, \delta$  z rovnice (4.1.39).

### Rezonance amplitudy



Obr. 1.4.12



Obr. 1.4.13

Derivováním  $K$  podle  $\Omega$  můžeme nalézt maximální, tzv. rezonanční hodnotu amplitudy, viz obr 4.1.12. Ta nastává pro

$$\Omega_r = \sqrt{\omega_0^2 - 2\delta^2}, \quad (4.1.44)$$

pokud ovšem  $\omega_0^2 - 2\delta^2$  není záporné.

Hodnota fázového posunutí  $\psi$  výchylky vůči působící síle je trvale záporná podle obr. 4.1.13. Při rovnosti  $\Omega = \omega_0$  je odezva posunuta o  $\pi/2$ . V okolí  $\omega_0$  je však budící síla přibližně ve fázi s rychlostí pohybu a proto zde dochází k výrazné rezonanci.

### Rezonance výkonu, činitel jakosti $Q$

Vedle rezonance amplitudy je třeba v oscilátoru věnovat pozornost i tzv. rezonanci výkonu. Okamžitý výkon dodávaný vnější silou do systému je dán součinem této síly a okamžité rychlosti kmitání  $\dot{u}$ , kterou najdeme derivováním výchylky (4.1.40) nebo (4.1.42).

$$P = ma_0 \sin \Omega t \cdot (-\alpha \Omega \sin \Omega t + \beta \Omega \cos \Omega t).$$

Je patrné, že složka rychlosti  $-\alpha \Omega \sin \Omega t$  je ve fázi s vnější silou, zatímco druhá složka je posunuta ve fázi o  $\pi/2$ . Spočtème střední hodnotu výkonu dodaného vnější silou za jednu periodu.

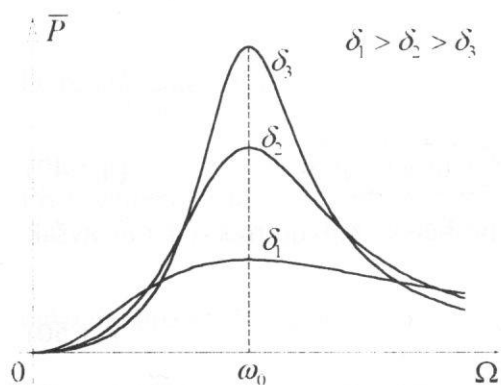
$$\bar{P} = \frac{ma_0}{T} \int_0^T (-\alpha \Omega \sin^2 \Omega t + \beta \Omega \sin \Omega t \cos \Omega t) dt. \quad (4.1.45)$$

Integrál z první části integrandu je roven  $-\frac{1}{2} \alpha T \Omega$  a integrál ze druhé je roven nule (tzv. jalová část), takže podle (4.1.41)

$$\bar{P} = -\frac{1}{2} ma_0 \alpha \Omega = ma_0^2 \frac{\delta \Omega^2}{(\omega_0^2 - \Omega^2)^2 + 4\delta^2 \Omega^2}.$$

Závislost  $\bar{P}(\Omega)$ , zobrazená na obr. 4.1.14 dosahuje maxima pro

$$\Omega_r = \omega_0, \quad (4.1.46)$$



Obr. 4.1.14

nezávisle na velikosti tlumení  $\delta$ . S klesajícím  $\delta$  je však rezonanční hodnota vyšší a vrchol štíhlejší.

Důležitou charakteristikou rezonujícího systému je tzv. **činitel jakosti  $Q$** . Je definován jako  $2\pi$  násobek poměru energie akumulované v systému (přesněji: průměrné energie kmitání)  $\bar{W}$  k energii  $\Delta_T W$  rozptýlené tlumící silou za jednu periodu. Pro  $\bar{W}$  můžeme napsat, podle (4.1.21) a (4.1.43),

$$\bar{W} = \frac{1}{2} m \Omega^2 K^2 = \frac{1}{2} m \Omega^2 \frac{a_0^2}{(\omega_0^2 - \Omega^2)^2 + 4\delta^2 \Omega^2}$$

a pro  $\Delta_T W = T \bar{P}$ , podle (4.1.45) a  $T = \frac{2\pi}{\Omega}$ ,

$$\Delta_T W = \frac{2\pi}{\Omega} m a_0^2 \frac{\delta \Omega^2}{(\omega_0^2 - \Omega^2)^2 + 4\delta^2 \Omega^2}$$

Pro  $Q$  v rezonanci, kdy  $\Omega = \omega_0$ , dostáváme konečně

$$Q = 2\pi \frac{\bar{W}}{\Delta_T W} = \frac{\omega_0}{2\delta} \quad (4.1.47)$$

Pro malé  $\delta$  je  $Q$  vysoké, takže i při malé dodávané (a disipované) energii může být akumulovaná energie vysoká. Lze ukázat, že činitel jakosti  $Q$  zvyšuje hodnotu maxima amplitudy  $K$  v závislosti na klesajícím  $\delta$ , jak je i naznačeno v obr. 4.1.12.

Rezonanční jevy jsou významně využívány v elektrotechnických obvodech, často však nabývají na důležitosti i v mechanických konstrukcích, kde jsou však zpravidla nežádoucí a je snaha je potlačit.

Ve fyzice se vynucené kmity a jevy rezonance vyskytují kupř. při rozptylu světla, při studiu susceptibility dielektrik, v absorpci mikrovln ve vodě apod.

### Nelineární systémy, deterministický chaos

Všechny předchozí výsledky platí pro systémy, které jsou lineární. U nelineárních systémů se můžeme dočkat neočekávaných překvapení.

Už v systému matematického kyvadla s harmonicky se pohybujícím bodem závěsu, kdy pohybová rovnice může být napsána ve tvaru

$$\ddot{u} + 2\delta\dot{u} + \omega_0^2 \sin u = a_0 \sin \Omega t, \quad (4.1.48)$$

může být závislost výchylky  $u$  na čase velice rozmanitá. Závisí složitě na vzájemných poměrech hodnot koeficientů  $\delta$ ,  $\omega_0$ ,  $a_0$ ,  $\Omega$ . Pro některé hodnoty těchto, tzv. **řídících či bifurkačních parametrů** je chování harmonické s úhlovou frekvencí  $\Omega/2$ . Navzdory tomu, že kyvadlo samo má tendenci chovat se periodicky a vynucující síla je dokonce harmonická, pro jiné hodnoty těchto parametrů je pohyb **nepřavidelný a neperiodický**. Ačkoli je řešení popsáno diferenciální rovnicí (4.1.48) jednoznačně a z počátečních podmínek je zcela determinováno, může být chování chaotické a dlouhodobě prakticky nepředpověditelné. Ve vynuceném kmitání kyvadla může nastat tzv. **deterministický chaos**.

### 4.1.4 Skládání harmonických kmitů

Uvažujme dva kmity popsané vztahy

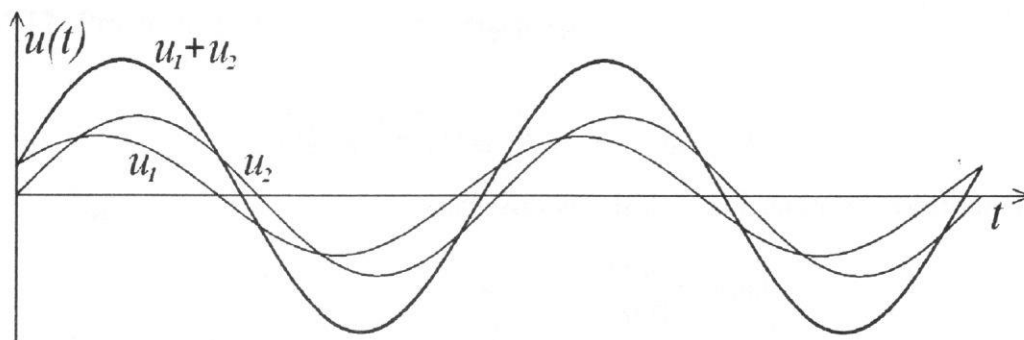
$$u_1 = U_1 \sin(\omega t + \varphi_1) \quad \text{a} \quad u_2 = U_2 \sin(\omega t + \varphi_2). \quad (4.1.49)$$

Výsledná výchylka  $u = u_1 + u_2$  má opět čistě harmonický průběh s úhlovou frekvencí  $\omega$ , avšak s novou amplitudou  $U$  a fázovým posunutím  $\varphi$

$$u = U \sin(\omega t + \varphi). \quad (4.1.50)$$

Viz obr. 4.1.15. Hodnoty obou konstant  $U$  a  $\varphi$  najdeme rozvedením všech vyjádření podle součtového vzorce  $\sin(\alpha + \beta) = \sin \alpha \cos \beta + \cos \alpha \sin \beta$ .





Obr. 4.1.15

$$u = U \sin \omega t \cos \varphi + U \cos \omega t \sin \varphi,$$

$$u_1 + u_2 = U_1 \sin \omega t \cos \varphi_1 + U_1 \cos \omega t \sin \varphi_1 + U_2 \sin \omega t \cos \varphi_2 + U_2 \cos \omega t \sin \varphi_2.$$

Má-li rovnost  $u = u_1 + u_2$  platit pro libovolné  $t$ , musí koeficienty u obou lineárně nezávislých funkcí  $\sin \omega t$  a  $\cos \omega t$  být u obou vyjádření shodné. Ze dvou algebraických rovnic  $U \cos \varphi = U_1 \cos \varphi_1 + U_2 \cos \varphi_2$ ,  $U \sin \varphi = U_1 \sin \varphi_1 + U_2 \sin \varphi_2$  snadno sečtením kvadrátů a dělením dostaneme

$$U^2 = U_1^2 + U_2^2 + 2U_1U_2 \cos(\varphi_2 - \varphi_1), \quad (4.1.51)$$

a

$$\operatorname{tg} \varphi = \frac{U_1 \sin \varphi_1 + U_2 \sin \varphi_2}{U_1 \cos \varphi_1 + U_2 \cos \varphi_2}. \quad (4.1.52)$$

Je patrné, že  $U$  závisí výrazně na fázovém rozdílu obou kmitů ( $\varphi_2 - \varphi_1$ ). Jsou-li oba kmity ve fázi,  $\varphi_2 - \varphi_1 = 0$ , platí  $U = U_1 + U_2$  a obě amplitudy se sčítají. Jsou-li kmity v protifázi,  $\varphi_2 - \varphi_1 = \pi$ , je  $U = |U_1 - U_2|$ . Pro  $U_1 = U_2$  a  $\varphi_2 - \varphi_1 = \pi$  se oba kmity navzájem úplně potlačí,  $U = 0$ .

Někdy je výhodné k popisu kmitání (a vlnění) použít komplexního zápisu. Výrazy (4.1.49) a (4.1.50) lze psát jako imaginární části (kdybychom použili místo sinů kosiny, šlo by o reálné části) výrazů

$$\hat{u}_1 = U_1 e^{j(\omega t - \varphi_1)}, \quad \hat{u}_2 = U_2 e^{j(\omega t + \varphi_2)}, \quad (4.1.53)$$

kteřé můžeme upravit na

$$\hat{u}_1 = U_1 e^{j\omega t} e^{j\varphi_1}, \quad \hat{u}_2 = U_2 e^{j\omega t} e^{j\varphi_2}.$$

Při zavedení komplexních amplitud

$$\hat{U}_1 = U_1 e^{j\varphi_1}, \quad \hat{U}_2 = U_2 e^{j\varphi_2},$$

můžeme pro součet obou kmitů napsat

$$\hat{u}_1 + \hat{u}_2 = \hat{U}_1 e^{j\omega t} + \hat{U}_2 e^{j\omega t} = (\hat{U}_1 + \hat{U}_2) e^{j\omega t}.$$

Odtud je ihned vidět, že výsledný kmit má opravdu stejnou úhlovou frekvenci  $\omega$  jako oba skládané kmity a jeho komplexní amplituda je rovna součtu komplexních amplitud skládaných kmitů. Platí tedy

$$\hat{u} = \hat{U}e^{j\omega t},$$

kde

$$\hat{U} = Ue^{j\varphi} = \hat{U}_1 + \hat{U}_2 = U_1e^{j\varphi_1} + U_2e^{j\varphi_2}.$$

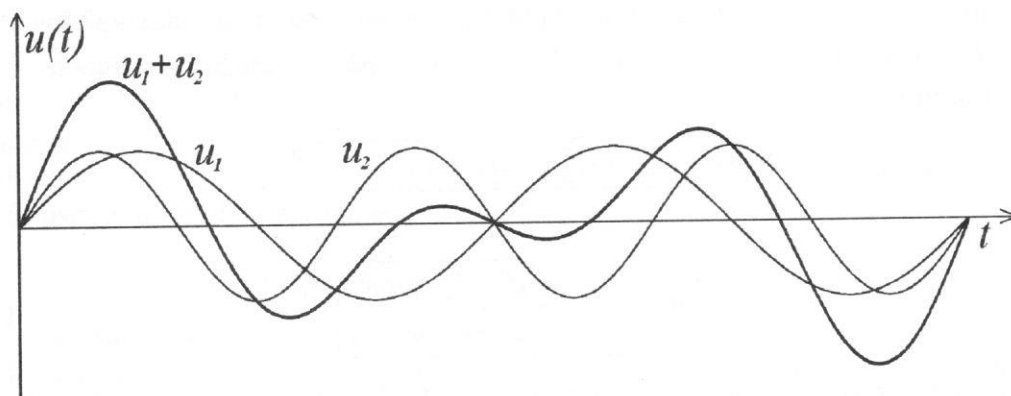
Porovnáním reálných a imaginárních složek dostáváme

$$\tan \varphi = \frac{\text{Im} \hat{U}}{\text{Re} \hat{U}} \quad \text{a} \quad U^2 = \hat{U} \hat{U}^*,$$

což ovšem neznamena nic jiného, než co říkají rovnice (4.1.52) a (4.1.51).

### Skládání kmitů různých frekvencí

Výsledek superpozice dvou harmonických kmitů téhož směru, avšak různých frekvencí  $\omega_1 \neq \omega_2$ , závisí podstatně na poměru obou frekvencí. Je-li poměr  $\omega_1/\omega_2$  **racionálním** číslem, vznikne periodické (ačkoli obecně neharmonické) kmitání s periodou  $T$ , která je



Obr. 4.1.16

nejmenším společným násobkem obou period původních  $T_1$  a  $T_2$ . Ilustrací je obrázek 4.1.16, s poměrem  $\omega_1:\omega_2=2:3$ . Pro zjednodušení byl zvolen nulový fázový posuv a oba kmitý začínají v počátku. Změníme-li počáteční fázové poměry, změní se tvar výsledného průběhu, průběh však bude opět periodický s periodou  $T$ .

Je-li poměr  $\omega_1:\omega_2$  **iracionální**, nemohou se oba skládané kmitý setkat tak, aby se pohyb mohl opakovat; pohyb nemůže být periodický.

V elektrotechnických a radioelektronických obvodech nachází rozsáhlé uplatnění ta část matematiky (tzv. Fourierova analýza), která se podrobně skládáním a rozkladem periodických pohybů zabývá. Pro širší rozbor těchto otázek není bohužel v tomto úvodním fyzikálním skriptu dost místa.

### Rázy

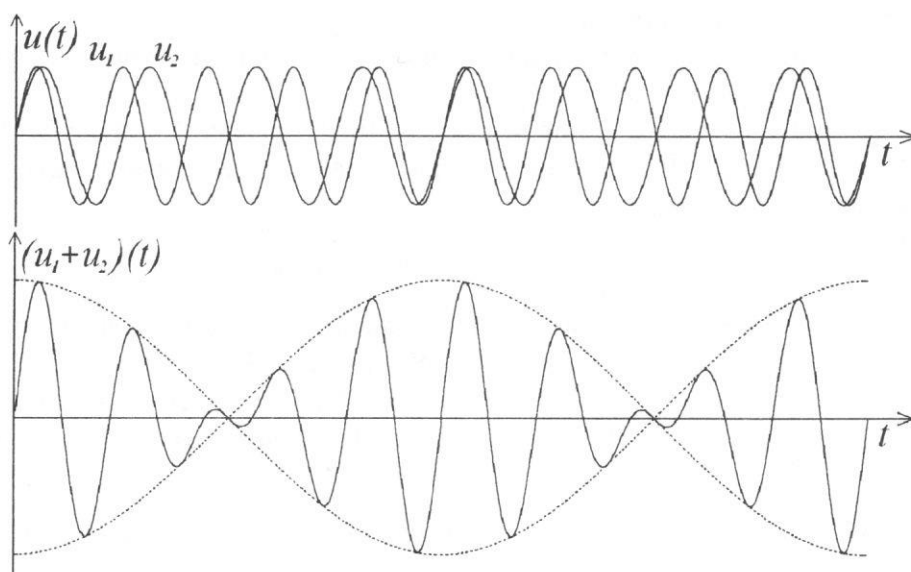
Zvláštní případ superpozice harmonických kmitů nastává při skládání dvou **kmitání téhož směru** s odlišnými, avšak sobě **blízkými frekvencemi**

$$\omega_1 \neq \omega_2, \quad |\omega_1 - \omega_2| \ll \omega_1. \quad (4.1.54)$$

Vznikají tzv. rázy. Rázy či záněje spočívají v tom, že výsledné kmitání má sinusový průběh s kmitočtem rovným aritmetickému průměru skládaných kmitočtů, jeho amplituda se však pravidelně mění s kmitočtem rovným polovičnímu rozdílu obou skládaných kmitočtů.

Obr. 4.1.17. Pro jednoduchost necht' oba skládané kmity mají stejné amplitudy a nulové počáteční fáze

$$u_1 = U \sin \omega_1 t, \quad u_2 = U \sin \omega_2 t. \quad (4.1.55)$$



Obr. 4.1.17

Výsledný průběh upravíme užitím vzorce pro součet dvou sinů na tvar

$$u = u_1 + u_2 = U(\sin \omega_1 + \sin \omega_2) = 2U \cos \frac{\omega_1 - \omega_2}{2} t \sin \frac{\omega_1 + \omega_2}{2} t. \quad (4.1.56)$$

Druhá část výsledného vztahu

$$\sin \frac{\omega_1 + \omega_2}{2} t = \sin 2\pi \frac{f_1 + f_2}{2} t = \sin 2\pi f t$$

představuje výsledné kmitání s kmitočtem

$$f = \frac{f_1 + f_2}{2}. \quad (4.1.57)$$

První část

$$U^* = 2U \cos \frac{\omega_1 - \omega_2}{2} t = 2U \cos 2\pi \frac{f_1 - f_2}{2} t \quad (4.1.58)$$

udává proměnlivou amplitudu výsledných kmitů. Tato amplituda klesá z maximální hodnoty  $2U$  k nule a opět se zvětšuje na maximální hodnotu, a to s frekvencí

$$f^* = \left| \frac{f_1 - f_2}{2} \right|.$$

Během jedné periody výrazu (4.1.58) se objeví dvakrát největší rozkmit (zázněj), jednou pro  $U^* = 2U$ , podruhé pro  $U^* = -2U$ . Počet těchto maxim udává počet rázů za sekundu a je tedy dvojnásobný proti  $f^*$ . Počet rázů za sekundu se rovná rozdílu obou skládaných kmitočtů,

$$f_r = |f_1 - f_2| \quad (4.1.59)$$

Při jiných počátečních fázových poměrech probíhají rázy stejně, jen celý průběh je posunut doleva či doprava, tj. v čase  $t = 0$  nezačíná maximální výchylkou.

### Skládání kmitů navzájem kolmých

Při skládání kmitů různých směrů musíme součet brát ovšem vektorově. Nejlépe lze takové skládání sledovat na obrazovce osciloskopu.

Složme nejprve dva navzájem **kolmé kmity o stejné frekvenci**. Výchylky v obou směrech označme jako  $x$  a  $y$ . O výsledné trajektorii rozhoduje jen fázové posunutí mezi oběma kmity  $\varphi_2 - \varphi_1 \equiv \varphi$ , takže můžeme psát

$$x = A \sin \omega t, \quad y = B \sin(\omega t + \varphi) \quad (4.1.60)$$

Hledáme křivku v rovině  $x, y$ , po níž se bude kmitající bod pohybovat. Z parametrických rovnic (4.1.60) potřebujeme vyloučit čas  $t$ . Nejprve upravme (4.1.60) na

$$\frac{x}{A} = \sin \omega t, \quad \frac{y}{B} = \sin \omega t \cos \varphi + \cos \omega t \sin \varphi.$$

V druhé rovnici  $\cos \omega t$  nahradíme  $\pm \sqrt{1 - \sin^2 \omega t}$  a za  $\sin \omega t$  dosadíme z rovnice první. Obdržíme

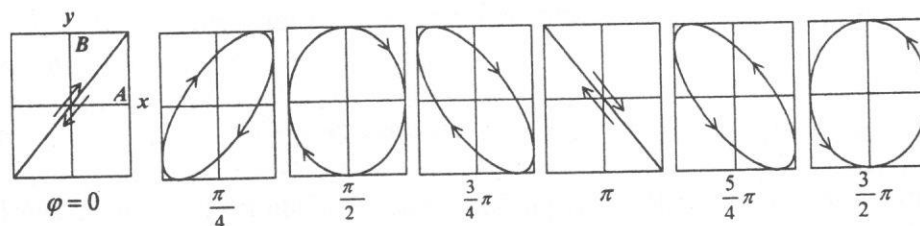
$$\frac{y}{B} = \frac{x}{A} \cos \varphi \pm \sqrt{1 - \frac{x^2}{A^2}} \sin \varphi.$$

Osamostatníme člen s odmocninou a celou rovnici umocníme na druhou. Po malé úpravě dostaneme konečný výsledek ve tvaru

$$\frac{x^2}{A^2} - 2 \frac{x y}{A B} \cos \varphi + \frac{y^2}{B^2} = \sin^2 \varphi \quad (4.1.61)$$

Ten představuje rovnici **elipsy** se středem v počátku souřadnic. Její osy jsou však vůči souřadnicovým osám  $x$  a  $y$  pootočený podle hodnoty fázového posunutí obou složek  $\varphi$ .

Viz obr. 4.1.18.



Obr. 4.1.18

Rozeberme některé speciální případy. Pro  $\varphi = k\pi$  je  $\sin \varphi = 0$ ,  $\cos \varphi = \pm 1$ , takže rovnice (4.1.61) přejde na

$$\frac{x^2}{A^2} \mp 2 \frac{x y}{A B} + \frac{y^2}{B^2} = 0,$$

Po úpravě máme

4.1.59)  
posunut

$$\left(\frac{x}{A} \mp \frac{y}{B}\right)^2 = 0,$$

což jsou rovnice úseček

$$\frac{x}{A} - \frac{y}{B} = 0, \quad \frac{x}{A} + \frac{y}{B} = 0.$$

takové  
něrech  
kmitů

Pro  $\varphi = (2k+1)\frac{\pi}{2}$  je  $\cos\varphi = 0$ ,  $\sin\varphi = \pm 1$ , takže

4.1.60)  
rických

$$\frac{x^2}{A^2} + \frac{y^2}{B^2} = 1,$$

což je rovnice elipsy s hlavními osami v osách  $x, y$ . Pro  $A=B$  přejde elipsa v kružnici.

Nejsou-li směry skládaných kmitů na sebe kolmé, je výpočet poněkud složitější, výsledným obrazcem je však i v tomto případě obecně elipsa.

první.

### Lissajousovy obrazce

Při skládání dvou kmitů s **odlišnými frekvencemi**

$$x = A \sin \omega_1 t, \quad y = B \sin(\omega_2 t + \varphi), \quad \omega_1 \neq \omega_2, \quad (4.1.62)$$

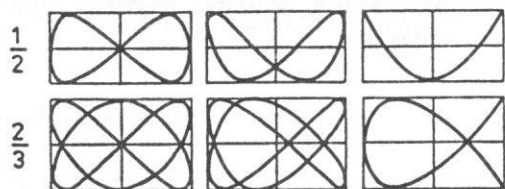
je situace složitější a podstatně závisí na poměru obou frekvencí.

úpravě

Je-li poměr  $\omega_2/\omega_1$  **racionálním** číslem, sejdou se po určité době oba průběhy se stejnou fází jako na počátku. Kmitající bod se vrátí do původní polohy a celý průběh se opakuje. Kmitání je periodické a trajektorie je uzavřenou čarou. Této trajektorii se říká Lissajousův obrazec. Obr. 4.1.18 představuje zvláštní případ. Několik jiných případů je znázorněno v obr. 4.1.19.

4.1.61)

ak vůči



Obr. 4.1.19

V horní části je poměr frekvencí 1:2, v dolní je poměr 2:3. Jsou zobrazeny tři varianty lišící se hodnotou fázového posuvu  $\varphi$ .

Není-li poměr  $\omega_1/\omega_2$  číslem racionálním, nemá výsledné kmitání periodický charakter. Oba kmitů se nikdy nesetkají se stejnou fází jako na očiátku. Trajektorie není uzavřenou křivkou

a postupně (pro  $t \rightarrow \infty$ ) hustě vyplní celý obdélník o stranách  $2A$  a  $2B$ .

## 4.1.5 Systémy se dvěma stupni volnosti

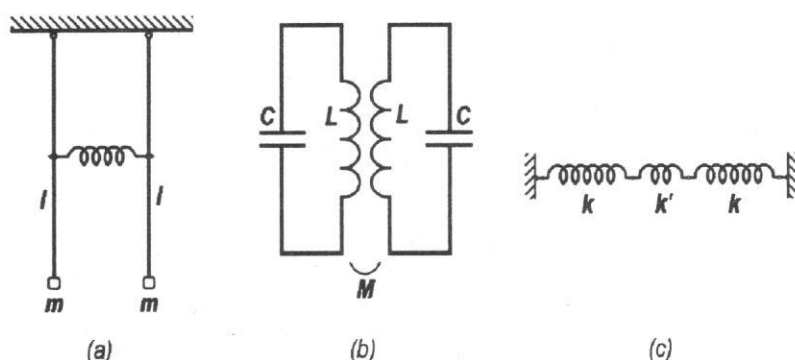
rovnice

### Spřažené (vázané) oscilátory

V posledním odstavci této subkapitoly o kmitání oscilátorů se ještě věnujme dvojici vázaných oscilátorů. Někdy bývá dávana přednost názvu **systém se dvěma stupni volnosti** nebo systém se **dvěma souřadnicemi**. Na obr. 4.1.20 je zobrazeno několik příkladů takového systému. Jsou to kupř. spřažená kyvadla (a), vázaná dvojice  $LC$  obvodů (b), nebo dvojice oscilujících hmotných bodů (c). Kyvadla (vykonávající malé kmitů, aby systém byl lineární)



jsou propojena pružinou nebo gumovou nití.  $LC$  systémy jsou svázány vzájemnou indukčností  $M$  a oba hmotné body  $m$  jsou spojeny slabou pružnou vazbou  $k$ .

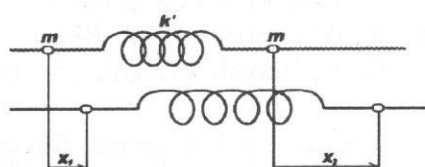


Obr. 4.1.20

Velice snadno, přesvědčivě a názorně lze demonstrovat přenos energie mezi dvojicí kyvadel. Vychýlíme-li jedno z nich z rovnovážné polohy a necháme je kývat, jeho energie se postupně přenáší na kyvadlo sousední, to se posléze rozkývá, zatímco první z kyvadel zmenšuje svou amplitudu až do zastavení, než se postupně energie začne přelévát zpět atd. Na každém z kyvadel tak vlastně pozorujeme dříve diskutovaný jev vzniku rázů.

Ukážeme, že sprážené kmitavé systémy lze popsat i jinak než jen jako kmity jednotlivých oscilátorů. Systém lze popsat jako celek zavedením tzv. módů kmitavého pohybu soustavy.

### Kmitavé módy



Obr. 4.1.21

Mějme dva hmotné body podle obr. 4.1.20 (c), vychýlené z jejich rovnovážných poloh 1 a 2 o posunutí  $x_1$  a  $x_2$ , jak je znázorněno v obr. 4.1.21. Mezi oběma oscilátory tak vzniká pružná vazebná síla o velikosti

$$F' = k'(x_2 - x_1). \quad (4.1.63)$$

Pohybové rovnice pro oba oscilátory můžeme snadno napsat

$$m\ddot{x}_1 = -kx_1 + k'(x_2 - x_1),$$

$$m\ddot{x}_2 = -kx_2 - k'(x_2 - x_1).$$

Sečtením a odečtením obou rovnic dostáváme

$$m \frac{d^2}{dt^2}(x_1 + x_2) = -k(x_1 + x_2),$$

$$m \frac{d^2}{dt^2}(x_2 - x_1) = -(k + 2k')(x_2 - x_1).$$

To jsou diferenciální rovnice pro nalezení funkcí  $u_1 = x_1 + x_2$  a  $u_2 = x_2 - x_1$ . Obě rovnice mají tvar rovnic pro harmonické kmity, první s konstantou  $k$ , druhá s konstantou  $k + 2k'$ . Příslušná řešení snadno najdeme

$$u_1 \equiv x_1 + x_2 = A_1 \sin(\omega_0 t + \varphi_1), \quad (4.1.64)$$

kde  $\omega_0 = \sqrt{\frac{k}{m}}$  a

$$u_2 \equiv x_2 - x_1 = A_2 \sin(\omega^* t + \varphi_2), \quad (4.1.65)$$

kde  $\omega^* = \sqrt{\frac{k+2k'}{m}}$ .

Souřadnice  $u_1$  a  $u_2$  odpovídají harmonickým kmitům s různými frekvencemi  $\omega_0$ ,  $\omega^*$ , odpovídající dvěma různým módům kmitů soustavy obou oscilátorů jako celku. **Souřadnice**  $x_1$  a  $x_2$ , udávající pohyby jednotlivých hmotných bodů (oscilátorů vázaných pružnou vazbou  $F'$ ) jsou **superpozicí kmitání módů 1 a 2**,

$$x_1 = \frac{1}{2}(u_1 - u_2) = \frac{1}{2}[A_1 \sin(\omega_0 t + \varphi_1) - A_2 \sin(\omega^* t + \varphi_2)],$$

$$x_2 = \frac{1}{2}(u_1 + u_2) = \frac{1}{2}[A_1 \sin(\omega_0 t + \varphi_1) + A_2 \sin(\omega^* t + \varphi_2)].$$

Kmitavé chování soustavy závisí na velikosti vazby  $k'$ . Je-li  $k' = k$ , platí  $\omega^* = \sqrt{3}\omega_0$ . Je-li  $k'$  malé, jsou  $\omega_0 + \omega^*$  sobě blízké, časové závislosti  $x_1(t)$  a  $x_2(t)$  se jen málo odlišují a skládáním vznikají pohyby, které byly již vyšetřovány při studiu rázů. Soustavě s  $n$  stupni volnosti přísluší  $n$  frekvencí a  $n$  kmitavých módů.

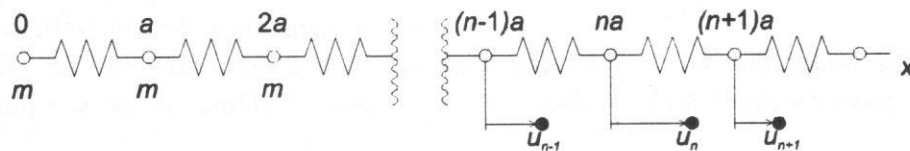
Probíraný případ dvou vázaných oscilátorů umožňuje nahlédnout do problematiky chování vibračních systémů s  $n$  stupni volnosti, kterými modelujeme kupř. **chování krystalových mřížek**. Kvantovým aspektem takových vibrací je zavedení představy **fonónů**.

## 4.2 Vlnění v bodové řadě

### 4.2.1 Postupné vlnění

#### Kmity systémů s mnoha stupni volnosti

Rozšířme úlohu z předchozího odstavce. Mějme systém hmotných bodů, uspořádaných v řadě podle obr. 4.2.1. Jednotlivé body jsou svázány pružnou vazbou a v rovnovážném stavu



Obr. 4.2.1

jsou rozloženy rovnoměrně po vzdálenostech  $a$ . Předpokládejme, že některý z bodů (počáteční) je pod vlivem vnější síly nucen konat harmonické kmity. Pružné vazby k sousedním bodům budou přenášet pohyb postupně na další a další místa a pokud bude vnější zdroj stále dodávat energii, dojde k postupnému rozkmitání celé řady tak, že v ustáleném stavu budou jednotlivé body kmitat se stejnou úhlovou frekvencí  $\omega$  a stejnou amplitudou  $U_0$ .